

川崎製鉄技術研究所 中戸 参〇垣生泰弘 江見俊彦
千葉製鉄所 木下勝雄 戸村寿孝
上田典弘 今井卓雄

-
- 図1 銅板内温度測定位置

3. 結果と考察：鋳型内熱流束には、引抜速度、パウダー性状、U濃度、タンディッシュ温度の影響が大きく、次いで振動条件で、水量の影響は小さい。引抜速度の影響は、パウダー銘柄によっても異なるが、 0.8 m/min から 1.2 m/min に増大すると約 10 % の長辺平均熱流束の増加がある。引抜速度、パウダー銘柄が一定の場合、長辺平均熱流束はタンディッシュ温度が高いほど大きく、溶鋼過熱度の上昇にともなう顯熱增加とほぼ一致する。銅板内温度の鋸込方向分布（幅方向平均値）には、図 2. のように、(I) メニスカス付近より鋳型下端まで順次低下する場合(I)、(II) 鋳型上端より 300 mm 付近までは順次低下するが、以後鋳型下端まではほとんど変化しない場合(II)、(III) 鋳型下端部で銅板内温度が上昇する場合(III)、の 3 つのタイプがある。面温度分布の 1 例を図 3. に示すが、幅方向の温度分布が均一でなくかなりの温度差が有る場合も多い。図 3. は定常鋸込時のある 1 時刻の測定値であるが、この温度分布は時刻が変れば、幅方向、長さ方向に変化するのが特徴である。鋳型内熱流束の 2 次元分布の時間による複雑な変化を記述するには、スラグの物性の相違によって生じる凝固殻／銅板間のスラグフィルム厚とスラグフィルム／銅板間の凹凸を含めた空隙の 2 次元分布の変化を陽に考慮する必要があることがわかった。

1) 例えば 甲谷ら: 鉄と鋼 61(1975).4, S60

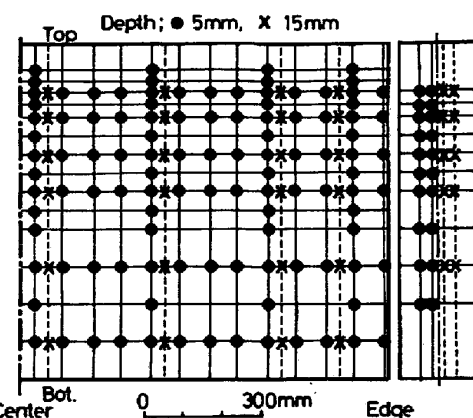


図 1. 銅板内温度測定位置

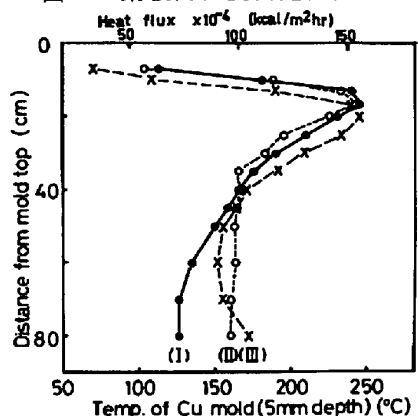


図2. 銅板内5面温度の鋸込方向分布

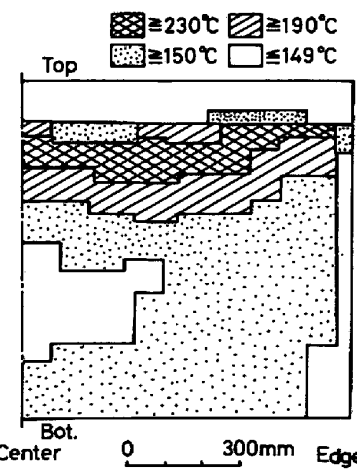


図3. 5面温度の2次元分布